

粘弹性体の振動

秋田大学 (正) 赤木知之
(准) ○黒川信一
(学) 高橋啓輔

1 緒言 構造物の地震問題を取り扱うとき構造物及び基礎の材料力学的性質として、弾性と流体粘性とを組み合った形を考えるのが一般である。この取り扱いとして、普通、粘弹性モデルが用いられる。本報告は、モルタル片持げり強制変位による曲げ振動を加えて得られた動的応答観測(図1)に対する結果と、上述した粘弹性モデルにより算出された数値解との対比より粘弹性モデルについて若干の考察を行なったものである。

2 粘弹性片持げりの強制曲げ振動の解

図2に示す。3つの粘弹性モデルに対する振動方程式を示し、これら、減衰パラメータを各モデル定数によって、式(1)のようく定義し、それらの加速度応答倍率(L_s)をこれらのパラメーターによって示す。

$$A_{ns} = T_0 / \omega_n, \quad A_{ns} = \frac{1}{T_0 \omega_n}, \quad A_{ns} = T_0 / \omega_n, \quad A_{ns} = \frac{1}{T_0 \omega_n}, \quad L_s = \frac{T_0'}{\omega_n} \quad (1)$$

ここで、 ω_n は系の固有振動数であり、 $T_0 = \frac{\omega_n}{E_0}$, $T_0' = \frac{\omega_n}{E_0'}$, $T_r = \frac{\omega_n}{E_r}$, $T_r' = \frac{\omega_n}{E_r + E_0}$ は材料の屈筋時間、緩和時間を意味する。

a) Voigt本に対する解

$$\text{振動方程式: } \frac{d^2Y}{dx^2} + V^2 \frac{d^2Y}{dx^2} + B \frac{d^2Y}{dx^2 dx} = - \frac{2\omega_n^2}{\omega_n^2} \quad (2) \quad \text{ここで } V^2 = \frac{E_0 T_0}{m A}, \quad B = \frac{E_0 T_0}{m A}$$

γ : 相対変位, ϕ : 地動, m : 単位質量, A : 断面積,

I : 断面二次モーメント, E : 弹性係数, η : 粘性係数, g : 重力加速度,

$Y = Y_{ns} e^{j\omega_n t}$, $\phi = \phi_0 e^{j\omega_n t}$ を式(2)に代入すると次の関係が求められる。

$$(V^2 + i\omega_n B) \frac{d^2Y}{dx^2} - \omega_n^2 Y = \omega_n^2 \phi_0 \quad (3)$$

ここで、 $\frac{d^2Y}{dx^2} - g^2 Y = 0$ と结合起来。

$$\text{境界条件: } x=0 : Y=0, \frac{dY}{dx}=0, \quad x=L : \frac{dY}{dx}=0, \frac{d^2Y}{dx^2}=0 \quad (4) \quad \text{を適用すれば式(3)を満足し式(4)を解く。}$$

解く、基準振動型 $f_0(x)$ を用い、かつ式(3)に代入し、基準振動の直交性を用いれば次のようになる。

$$Y = \sum_{n=1}^{\infty} \phi_0 \left[\frac{(V^2 g^2 - \omega_n^2) - (m E_0 B g^2)}{(m E_0 B g^2 - \omega_n^2) + (m E_0 B g^2)} f_0 f_0(x) e^{j\omega_n t} \right] \quad (5) \quad \text{ここで } f_0(x) = \frac{\sin g x - \cos g x}{\cosh g x + \coth g x}, \quad g = \sqrt{\frac{\int_0^L f_0^2 dx}{\int_0^L f_0^2 dx}}$$

$$\text{絶対変位: } Z = Y + \phi = \phi_0 \left[\frac{(V^2 g^2 - \omega_n^2) - (m E_0 B g^2)}{(m E_0 B g^2 - \omega_n^2) + (m E_0 B g^2)} f_0 f_0(x) + 1 \right] e^{j\omega_n t} \quad (6) \quad 1 + \omega_n g \sinh g L = 0$$

次に、式(1)に示すパラメータ $-A_{ns}$ を導入し、 $V^2 g^2 = \mu_0^2$ とすれば $B = \frac{E_0 T_0}{m A}$ となるから、地動に対する一次元二つの加速度応答倍率 L_s は次式のように得られる。

$$L_s = \sqrt{\frac{1 + (\mu_0^2 + 2\beta_0 f_0(x) - 2)(\gamma_{ns})^2 + (1 - \beta_0 f_0(x))^2 (\gamma_{ns})^2}{1 - (\gamma_{ns})^2}} \quad (7) \quad \eta_1 = \tan^{-1} \frac{A_{ns} \beta_0 f_0(\gamma_{ns})}{1 + (\mu_0^2 + \beta_0 f_0(x) - 2)(\gamma_{ns})^2 + (1 - \beta_0 f_0(x))(\gamma_{ns})^2}$$

b) Maxwell本に対する解

$$\text{振動方程式: } \frac{d^2Y}{dt^2} + K \frac{dY}{dt} + L \frac{d^2Y}{dx^2} = - \frac{2\omega_n^2}{\omega_n^2} - K \frac{\omega_n^2}{\omega_n^2} \quad (8) \quad \text{ここで, } K = \frac{K_0}{E_r}, \quad L = \frac{K_0 T_0}{m A}$$

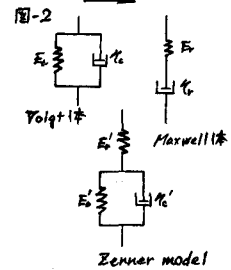
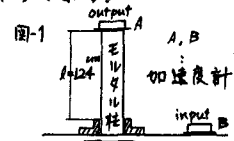
$$\text{相対変位: } Y = \phi_0 \left[\frac{\omega_n^2}{m A} (\omega^2 + i\omega_n K) - \frac{\omega_n^2 - (m E_0 B g^2 - \omega_n^2 K)}{m A^2 + (m E_0 B g^2 - \omega_n^2 K)^2} \right] f_0 f_0(x) e^{j\omega_n t} \quad (9)$$

$$\text{絶対変位: } Z = Y + \phi = \phi_0 \left[\frac{\omega_n^2}{m A} (\omega^2 + i\omega_n K) - \frac{\omega_n^2 - (m E_0 B g^2 - \omega_n^2 K)}{m A^2 + (m E_0 B g^2 - \omega_n^2 K)^2} f_0 f_0(x) + 1 \right] e^{j\omega_n t} \quad (10)$$

次に、式(1)に示すパラメータ $-A_{ns}$ を導入し、 $\frac{E_0 T_0}{m A} g^2 = \mu_0^2$ とすれば、 $K = \frac{1}{A_{ns} g^2}$, $L = \frac{K_0}{A_{ns} g^2}$ となるから、応答倍率 L_s は次のようく得られる。

$$L_s = \sqrt{\frac{1 + (1 - \beta_0 f_0(x)) \frac{1}{A_{ns} g^2} (1 - \beta_0 f_0(x)) - 2((\gamma_{ns})^2 + (1 - \beta_0 f_0(x))^2 (\gamma_{ns})^2)}{1 - (\gamma_{ns})^2}} \quad (11) \quad \eta_2 = \tan^{-1} \frac{A_{ns} \beta_0 f_0(\gamma_{ns})}{1 + \frac{1}{A_{ns} g^2} (1 - \beta_0 f_0(x)) + \beta_0 f_0(x) - 2((\gamma_{ns})^2 + (1 - \beta_0 f_0(x)) (\gamma_{ns})^2)}$$

c) Zener modelに対する解



$$\text{振動方程式: } \frac{\partial^2 u}{\partial x^2} + M \frac{\partial^2 u}{\partial t^2} + \omega^2 \frac{\partial^2 u}{\partial x^2} + N \frac{\partial^2 u}{\partial x \partial t} = - \frac{\partial^2 u}{\partial t^2} - M \frac{\partial^2 u}{\partial x^2} \quad (12) \quad \omega = \pi, \quad M = \frac{E_1}{E_1 + E_2}, \quad \omega^2 = \frac{E_1 E_2}{M(E_1 + E_2)}, \quad N = \frac{E_1 E_2}{M(E_1 + E_2)}$$

$$\text{相対変位: } y = \sum_{n=1}^{\infty} \frac{A_n}{n} \left(\omega_0^2 + i\omega M \right)^{-1} \frac{(e^{i\omega_0 t} - e^{-i\omega t}) - i(\omega M e^{-i\omega t} - \omega_0^2 M)}{(\omega_0^2 - \omega^2)^2 + (\omega M)^2} A_n f(n) e^{i\omega t} \quad (13)$$

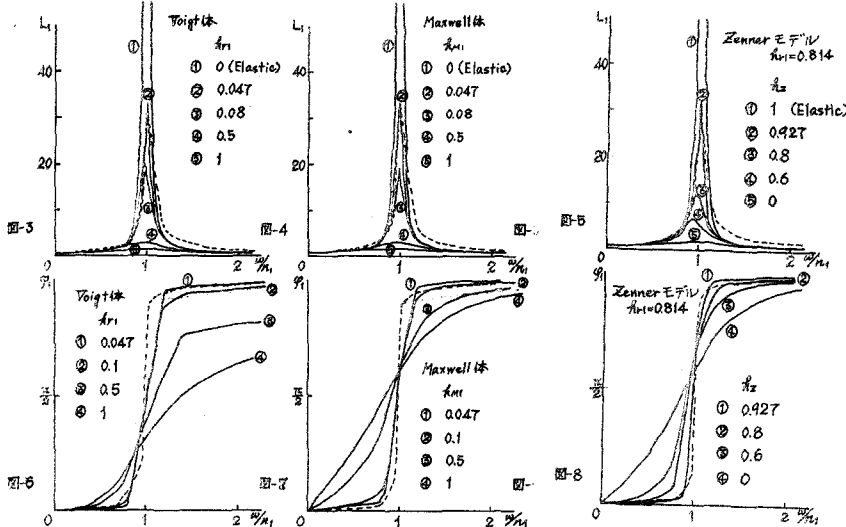
$$\text{絶対変位: } z = y + \phi = \phi \left[\sum_{n=1}^{\infty} \left(\omega_0^2 + i\omega M \right)^{-1} \frac{(e^{i\omega_0 t} - e^{-i\omega t}) - i(\omega M e^{-i\omega t} - \omega_0^2 M)}{(\omega_0^2 - \omega^2)^2 + (\omega M)^2} A_n f(n) + 1 \right] e^{i\omega t} \quad (14)$$

次に、式(1)K示しにパラメーター α_1, α_2 を導入し、 $\frac{E_1}{E_1 + E_2} = \alpha_1^2$ とすれば、 $M = \frac{1}{\alpha_1 + \alpha_2}$, $\omega^2 = \frac{\alpha_1 \alpha_2}{\alpha_1^2}$, $N = \frac{\alpha_1}{\alpha_1 + \alpha_2}$ となるから、応答倍率 L_1 は次のように得られる。

$$L_1 = \sqrt{\frac{\left(\alpha_1 \alpha_2 \right)^2 + 1 - 2\alpha_1 \alpha_2 (1 - \beta f(0)) \left(\frac{\alpha_1}{\alpha_1 + \alpha_2} \right)^2 + (1 - \beta f(0))^2 \left(\frac{\alpha_1}{\alpha_1 + \alpha_2} \right)^4 - 2 \left(\frac{\alpha_1}{\alpha_1 + \alpha_2} \right)^2 + (1 - \beta f(0))^2 \left(\frac{\alpha_1}{\alpha_1 + \alpha_2} \right)^2}{\alpha_1^2 + \alpha_2 - \left(\frac{\alpha_1}{\alpha_1 + \alpha_2} \right)^2 + 1 - \left(\frac{\alpha_1}{\alpha_1 + \alpha_2} \right)^2 \left(\frac{\alpha_1}{\alpha_1 + \alpha_2} \right)^2}} \quad (15)$$

$$\eta = \tan^{-1} \frac{\alpha_1 (1 - \beta f(0)) \beta f(0) \left(\frac{\alpha_1}{\alpha_1 + \alpha_2} \right)^2}{\alpha_1^2 (1 - \beta f(0))^2 + 1 - \alpha_1^2 \beta^2 (2 - \beta f(0)) \left(\frac{\alpha_1}{\alpha_1 + \alpha_2} \right)^2 + \alpha_1^2 (1 - \beta f(0))^2 + \beta^2 f(0)^2 + (1 - \beta f(0))^2 \left(\frac{\alpha_1}{\alpha_1 + \alpha_2} \right)^2}$$

これらの解を用いて、応答倍率曲線と位相差曲線を示すと図-3～8となる。図中破線は実験から得られたものである。これらより対比から、減衰パラメーターが次のよう評価され、式(15)から実験材料の粘弾性定数が得られる。



3 結果と考察

実験の結果、1次共振の円振動数は 94.2 rad/sec 、応答倍率 $L_1 = 33.4$ 、位相差 $\eta = 127.8^\circ$ である。したがって、減衰パラメーターを十分に小さければ、解式より近似的に $\omega/\omega_0 = 1$ における1次共振があらわれることとなることができる。Voigt体、Maxwell体に関しては、共振時の応答倍率を得て、簡単に次のモデル定数が得られる。

$$\text{Voigt体} \dots \alpha_1 = 0.047, \quad T_0 = 5.0 \times 10^{-4} \text{ sec}, \quad E_2 = 176,000 \text{ kg/cm}^2$$

$$\text{Maxwell体} \dots \alpha_1 = 0.047, \quad T_0 = 0.226 \text{ sec}, \quad E_2 = 176,000 \text{ kg/cm}^2$$

しかし、Zener体とした場合は、解式に α_1, α_2 と2個のパラメーターを含んでいた。そこで、共振時の位相差を合わせて観測すれば、次式よりこれらのパラメーターを評価でき。式(15)において $\omega/\omega_0 = 1$ と置いて

$$L_1 = \frac{\alpha_1^2 (1 - \beta f(0)) + \beta f(0)^2 + \beta^2 f(0)}{\alpha_1^2 (\alpha_2 - 1)^2} \quad (16) \quad \eta = \tan^{-1} \frac{\beta f(0)}{\alpha_1 (1 - \beta f(0)) - \beta^2 f(0)} \quad (17)$$

結果、 $L_1 = 33.4$, $\tan \eta = -1.389$ 及び、系によって決まる定数 $\beta f(0) = 1.566$ を用いて

$$\alpha_1 = 0.814, \quad \alpha_2 = 0.927, \quad T_0 = 0.014 \text{ sec}, \quad T_0' = 0.013 \text{ sec}, \quad E_2 = 176,000 \text{ kg/cm}^2, \quad E_2' = 2,410,000 \text{ kg/cm}^2$$

ここで、右に振動モードには依存せず、材料の粘弾性特性をあらわすパラメーターである。 $\alpha_2 = 0$ でモデルは Maxwell体に退化し、 $\alpha_2 = 1$ で弾性体となる。結論としてZenerモデルが、材料を表示するのに適当であるといふこと